

有限振幅波の shoaling に関する実験

京都大学工学部 正会員 岩垣雄一
京都大学大学院 学生員○酒井哲郎

1. はじめに

波が深海から海岸へ進行していく特性が変化する場合、沖波波形勾配が小さいと、Stokes 波理論よりも(3.2)ノイド波理論を用ひなければならぬ領域が存在する。従来の実験結果古めても、水深・波長比の小さい領域では、微小振幅波理論による理論曲線よりも、波高は急激に増大している。著者は昨年このような実験結果を理論的に説明するためには、ノイド波理論を用ひるべきであると考え、ノイド波の初等関数表示である hyperbolic waves の理論式を用いて、水深変化とともに違う波高、波速および静水面からの波の峯高の変化の理論曲線を求めた。つづいて、一様勾配の斜面上での波高および波速の変化についての実験を行ない、hyperbolic waves の理論式、Stokes 波理論および微小振幅波理論ともとづく理論結果と比較検討した。^{(1)~(3)}

この研究は、上述の hyperbolic waves の理論式にもとづく波高変化の計算^{(1), (2)}に若干の誤りがあったのでそれを修正し、さらに Méhauté-Webb (1964) が Stokes 波理論を用いて求めた水深変化とともに違う波高変化の理論曲線におけるパラメータ H_0/gT^2 や h/gT^2 を、微小振幅波理論によらず Stokes 波理論の 3 次近似解を用いて正確に求めて、あらためて沖波波形勾配 H_0/L 。もパラメータとする波高比 H/H_0 と水深・波長比 h/L の関係と静水面からの波の峯高の変化の理論曲線を求め、さらに、一様勾配上での波の進行とともに違う波高、波速および静水面からの波の峯高の変化の実験結果を示して、理論曲線と比較検討したものである。

2. hyperbolic waves の理論式にもとづく水深変化とともに違う波高変化式の修正

(1) 座標系を図-1 のようにすると、単位時間に単位幅を通過して輸送される平均の波のエネルギー \bar{W} はベルヌーイの定理を用いると、次式によつてあらわされる。

$$\bar{W} = \frac{\rho}{T} \int_{-T/2}^{T/2} \int_{-\infty}^{\infty} \left\{ \frac{1}{2} (u^2 + w^2) + \frac{p}{\rho} + g z \right\} u \cdot dz \cdot dt \quad (1)$$

ここで u もと w は水平流れ u もと w 方向の水粒子の速度であり、hyperbolic waves の圧力 p の 3 次近似は次式で与えられる。

$$\frac{p}{\rho g H} = \frac{7-z}{H} - \frac{3}{4} \frac{H}{h} \left\{ 2 \frac{z}{h} + \left(\frac{z}{h} \right)^2 \right\} \left\{ 2 \operatorname{sech}^2 \left(\frac{2K}{L} x \right) - 3 \operatorname{sech}^4 \left(\frac{2K}{L} x \right) \right\}, \quad X = x - ct \quad (2)$$

ここで、 K は第 1 種完全な円積分である。従来の計算^{(1), (2)}では右辺第 2 項のアンダーラインの部分を誤って $(H/h)^2$ として計算しており、あらためて計算した \bar{W} を、Méhauté-Webb (1964) が求めた Stokes 波理論の 3 次近似による \bar{W} において $h \rightarrow \infty$ とした \bar{W}_0 とを等しいとおいて整理すると、波高変化式はつきのようになる。

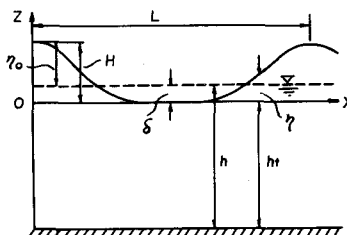


図-1 座標系

$$\frac{H}{H_0} = \frac{3}{16} \left(\frac{1}{T}\right)^{1/3} \left(\frac{h}{L_0}\right)^{-1} \left(\frac{H_0}{L_0}\right)^{1/3} \left\{ 1 + \pi^2 \left(\frac{H_0}{L_0}\right)^2 \right\} \left\{ 1 - \frac{1}{16} \frac{H}{h} + \frac{1}{12} \frac{1}{K^2} \left(\frac{H}{h}\right)^2 \right\}^{-1/3} \left\{ 1 - 1.3 \left(\frac{H}{h}\right)^2 \right\}^{1/3} \\ \times \left\{ 1 - \frac{3}{2} \frac{1}{K^2} + \frac{H}{h} \left(\frac{2}{5} - \frac{5}{2} \frac{1}{K^2} + \frac{3}{K^2} \right) + \left(\frac{H}{h}\right)^2 \left(-\frac{31}{112} - \frac{29}{160} \frac{1}{K^2} + \frac{13}{4} \frac{1}{K^2} \right) \right\}^{-1/3} \quad (4)$$

ここでもアンダーラインの部分が従来のものとの相違点である。ここで添字 0 は深海における値であることを示す。

3. Stokes 波理論にとづく水深変化にともなう静水面からの波の峠高の変化

(1) Méhauté-Webb (1964) はすでに Skjelbreia (1959) の Stokes 波理論の第3次近似による \bar{W} を用いて、水深変化にともなう波高変化の理論曲線を求めている。この理論曲線はパラメータ - および横軸にそれそれに H_0/T^2 および h/L_0 を採用している。一方、Stokes 波理論の第3次近似解から $2\pi H_0/gT^2$ および $2\pi h/gT^2$ と H_0/L_0 および h/L_0 との関係をもとめ、

$$\frac{H_0}{L_0} = \frac{2\pi H_0}{gT^2} \left\{ 1 - \pi^2 \left(\frac{H_0}{L_0}\right)^2 \right\}, \quad \frac{h}{L_0} = \frac{2\pi h}{gT^2} \left\{ 1 - \pi^2 \left(\frac{H_0}{L_0}\right)^2 \right\} \quad (5)$$

によると、たとえられ、 $2\pi H_0/gT^2$ の値を与えると H_0/L_0 は式(1)式の2次方程式を解くことにより求まり、 h/L_0 は式(2)式にこの H_0/L_0 の値と $2\pi h/gT^2$ の値を代入して求めることができる。一方、Koh-Méhauté (1966) は Méhauté-Webb (1964) の波高変化の計算結果を、 $2\pi H_0/gT^2$ に対する $2\pi h/gT^2$ と H/H_0 の関係として表に与えているので、この表から(5)式を用いて H_0/L_0 に対する h/L_0 と H/H_0 の関係として波高変化の理論曲線を求めることができる。

(2) Skjelbreia (1959) の Stokes 波理論の波形 ζ の第3次近似は次式で与えられる。

$$\frac{\zeta}{L} = A_1 \cos \theta + A_2 \cos 2\theta + A_3 \cos 3\theta, \quad \theta = \frac{2\pi}{L} (x - ct) \quad (6)$$

ただし上式の ζ は図-1の ζ から δ を差引いたものに相当し、 A_1 、 A_2 および A_3 は h/L および H/h の関数として Skjelbreia (1959) によって表が与えられている。ここで $\theta = 0$ とおけば、静水面からの波の峠高 ζ_0 がつきのように求まる。

$$\frac{\zeta_0}{H} = \left(\frac{H}{L}\right)^{-1} (A_1 + A_2 + A_3) \quad (7)$$

一方、Koh-Méhauté (1966) は波高変化の計算結果の表において、 $2\pi H_0/gT^2$ に対する $2\pi h/gT^2$ と H/H_0 の関係と同時に h/L と H/L の値をも示しており、 $H/h = (H/L)/(h/L)$ であるから、この表と(5)式、(7)式および Skjelbreia (1959) の表を用いれば、Stokes 波理論にとづく水深変化にともなう静水面からの波の峠高の変化の関係として、 H_0/L_0 もパラメーターとして h/L_0 と H_0/H の関係が計算できる。

4. 水深変化にともなう波の変化の実験

(1) 実験装置および方法 実験は京都大学防災研究所宇治川水理実験所の波浪実験水槽において行われた。この水槽は、長さ 63 m、幅 50 m、高さ 6.5 m の鉄製水槽で、図-1 に示すように、その一端にピストン型波起機を取り付けられており、水槽のほぼ中央へ 8 m へわたる、 $\frac{1}{2}$ 鋼板構成

を設置した。勾配は $1/20$ である、すなはち斜面の最上端は水槽の底面から 40 cm の高さにある。実験にあたっては、一様水深部の水深はつねにほぼ 40 cm とし、波の周期は $1, 1.2, 1.5, 2\text{ sec}$ 、一様水深部の波高は $1.5 \sim 12.0\text{ cm}$ の範囲のものを利用した。記録は、一様水深部および斜面上に設置された 6 台の電気抵抗線式波高計によつて得た。沖波波高は、一様水深部の波高と水深から、Méhaute-Webb (1964) が求めた Stokes 波理論のオ₃次近似による波高変化の理論曲線を用いて求め、沖波波長は波の周期 T から近似的に $8T^2/2\pi$ で与えた。波速は、隣り合う 2 台の波高計間を波が通過するのに要する時間から 2 台の波高計間の等分点での波速として求めた。また沖波波速は近似的に $8T/2\pi$ で与えた。静水面からの波の峰高は、あらかじめ記録紙上に静水面の位置を記録させておき、それを基準として求めた。なお採用した波は、各記録のうち波形が安定したもののもつて、斜面上で反射した波が激起（機の往復板によつてふたたび反射して帰ってくるまで）の数波である。

(2) 実験結果 一様水深部の水深を 40.5 cm とし、波高を適当に変えて行なった波高変化の実験結果のうち、沖波波形勾配の小さい 4 の場合を hyperbolic waves の理論曲線と微小振幅波理論にもとづく理論曲線とともに示したのが図-3 であり、他の波形勾配の大きい場合を Stokes 波理論にもとづく理論曲線と微小振幅波理論によるものとともに示したのが図-4 である。つきに、波の周期を 1.5 や 2 sec として行なった長波速の変化の実験結果を、(4) 式と hyperbolic waves の波速のオ₃次近似を用いて求めた理論曲線および微小振幅波理論にもとづくものとともに、縦軸に波速比 C/C_0 をとつて示したのが図-5 と図-6 である。最後に、静水面からの波の峰高の変化の実験結果を、縦軸に H/H_0 をとつて、hyperbolic waves の理論曲線と Stokes 波理論にもとづく理論曲線とともに示したのが図-7 と図-8 である。

(3) 審察 波高の測定誤差は 4% 程度と推定されるが、図-3 を見てわかるように、hyperbolic waves の理論式にもとづく波高変化の理論曲線は実験結果と非常によく一致しており、波高が水深減少とともに、すなはち



図-2 実験装置

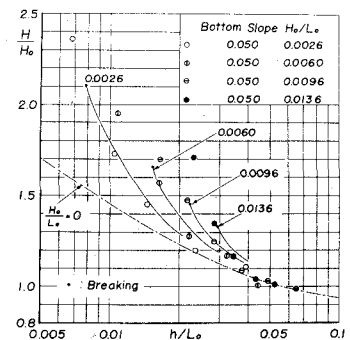


図-3 波高変化の実験結果 (1)

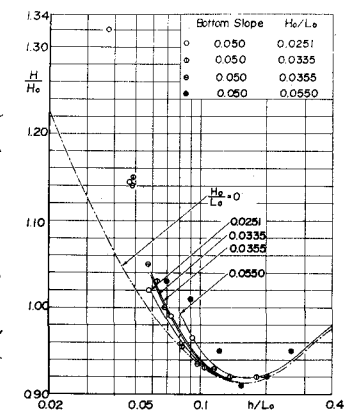


図-4 波高変化の実験結果 (2)

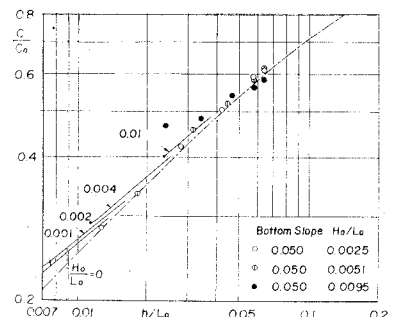


図-5 波速変化の実験結果 (1)

論によるものよりもはるかに大きくなることがわかる。たゞ各実験結果の点描き小した点のうち最小の水深の点は、視察によて求めた碎波点であり、図-3 からわかるように、Latone (1961) の最高波の式から求めた碎波限界よりも浅く、碎波高は大きい。理論的に求められた碎波限界は勾配の影響が導入されていないので、斜面上の碎波についてもさらによく検討する必要がある。一方、図-4 からわかるように、Stokes 波理論にもとづく波高と微小振幅波理論による波高との差異は実験誤差と同じ程度であり、理論曲線の妥当性を検討するには実験の精度を高める必要があるが、波高の増大の割合が微小振幅波理論にもとづくものよりやや大きいといふ傾向は実験結果と一致している。

波速の測定誤差は約 1.5% と推定されるが、図-5 および図-6 を見てわかるように、実験値は理論通りに水深の減少とともに減少し、その傾向は一致するが、微小振幅波理論によるほど小さくはない。また冲波波形勾配の影響は、hyperbolic waves の理論式にもとづく理論曲線と同じ傾向を示しているといえるが、さらに詳細な実験が必要であろう。

最後に静水面からの波の峰高については、水深の減少とともに増大し、その傾向は 2 つの理論曲線とほぼ一致しているものの、値自体は理論値よりもかなり小さい値を示しており、その一因として斜面上での波が非対称になってしまっていることが挙げられるが、今後さらに検討する必要がある。

参考文献

- 1) 岩垣雄一・酒井哲郎：有限振幅波の shoaling について、第 14 回海岸工学講習会講演集、昭 42. 10, pp. 1-7.
- 2) 岩垣雄一・酒井哲郎：フノイド波に関する研究（第 5 編）— hyperbolic waves の検討—(2) 京大防災研究所年報、第 11 号 B、昭 43. 3, pp. 463-476.
- 3) 岩垣雄一・酒井哲郎：水深変化にともなう波の変形に関する研究、昭和 43 年度関西支部年次学術講演会要。

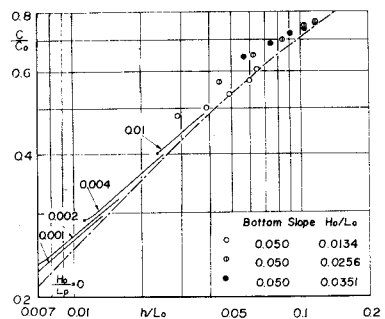


図-6 波速変化の実験結果 (2)

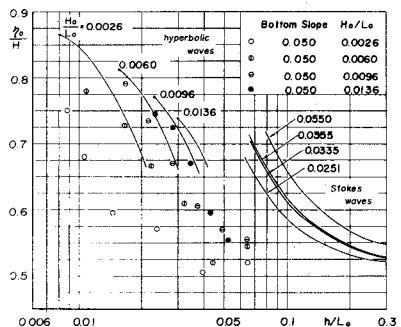


図-7 波の峰高の変化の実験結果 (1)

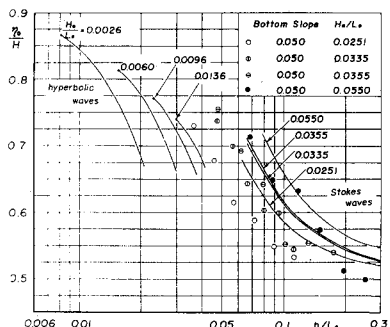


図-8 波の峰高の変化の実験結果 (2)